

تأثیر مقادیر سیلیسیم و زمان آستمپر بر دمای شکست نرم به ترد چدن نشکن آستمپر نیمهآلیاژی

افشین عارفی^۱، حامد ثابت^{۲*} و سasan بزدانی^۳

۱- دانشجوی کارشناسی ارشد مهندسی مواد، دانشگاه آزاد اسلامی واحد کرج

۲- عضو هیأت علمی گروه مهندسی مواد و متالورژی، دانشگاه آزاد اسلامی واحد کرج

۳- دانشیار، دانشکده مهندسی مواد، دانشگاه صنعتی سهند تبریز

*h-sabet@kiau.ac.ir

(تاریخ دریافت: ۸۹/۰۶/۰۴، تاریخ پذیرش: ۸۹/۰۸/۲۲)

چکیده

در تحقیق حاضر ۷ بلوک‌های استاندارد از جنس چدن نشکن با درصدهای متفاوتی از سیلیسیم درون قالب‌های از جنس CO_2 سیلیکات سدیم ریخته گری گردیدند، سپس نمونه‌های استاندارد ضربه از آن ماشین کاری و تحت عملیات حرارتی آستمپر قرار گرفتند و آزمون‌ها طی ۲ مرحله انجام شدند، در مرحله اول نمونه‌های ضربه تحت عملیات آستمپر قرار گرفتند. برای این منظور دما و زمان آستینیت به ترتیب ۸۷۵ درجه سانتی‌گراد و ۶۰ دقیقه و دمای آستمپر نیز ۳۷۵ درجه سانتی‌گراد در ۶ زمان مختلف انتخاب و اجرا گردید. نتایج آزمون ضربه مرحله اول در دمای محیط نشان دادند که با افزایش عنصر سیلیسیم انرژی ضربه در یک زمان مشخص آستمپر کاوش می‌یابد و بالاترین مقدار انرژی ضربه در محدوده سیلیسیم ۲/۸۱ تا ۲/۴۲ درصد و در محدوده زمانی ۹۰ دقیقه حاصل می‌گردد. در مرحله دوم اثر سیلیسیم بر دمای شکست نرم به ترد (DBTT) مورد بررسی قرار گرفته شد، در این مرحله نمونه‌های ضربه به ترتیب در دمای آستینیت ۸۷۵ درجه سانتی‌گراد به مدت زمان ۶۰ دقیقه و دمای آستمپر ۳۷۵ درجه سانتی‌گراد به مدت ۹۰ دقیقه تحت عملیات حرارتی قرار گرفتند و سپس تحت آزمون ضربه در دماهای بالای صفر و زیر صفر قرار گرفتند، نتایج آزمون‌های مرحله دوم مشخص نمودند که با افزایش مقدار سیلیسیم دمای شکست نرم به ترد افزایش می‌یابد.

واژه‌های کلیدی:

مقدار سیلیسیم، زمان آستمپر، دمای آستمپر، چدن نشکن، DBTT.

آستمپرینگ تولید می‌شوند برای این منظور ابتدا قطعات ریخته شده را در محدوده دمایی ۸۵۰ - ۹۵۰ درجه سانتی‌گراد آستینیت نموده و سپس در محدوده دمایی تشکیل یینیت (آستمپر ۴۵۰ - ۲۳۰ درجه سانتی‌گراد) به مدت زمان کافی نگهداری می‌نمایند. ساختار این نوع چدن‌ها مخلوطی از تیغه‌های سوزنی

۱- مقدمه

چدن‌های نشکن آستمپر طی دهه اخیر به دلیل دارا بودن استحکام و چقرمگی بالا مورد توجه وسیع محققین و صنایع قرار گرفته‌اند به نحوی که در بسیاری موارد جانشین فولادهای فورج شده گردیده‌اند. این چدن‌ها از طریق انجام عملیات حرارتی

بررسی‌ها نشان می‌دهد که با افزایش مقدار سیلیسیم بیشتر از ۳/۵ درصد در چدن نشکن فریتی انرژی ضربه در دمای محیط کاهش می‌یابد، به نحوی که سطح مقطع شکست نمونه‌ای با مقدار $2/9\% = Si$ دارای الگوی شکست نرم بوده، در حالی که سطح شکست نمونه‌های با $4/0\% = Si$ دارای الگوی شکست ترد می‌یابند [۶]. از طرفی مشخص شده است که افزودن عناصر Cr, V, Ti, Mn مانند کاربیدزا (در محدوده $0/6-2/0$ درصد) باعث تشکیل کاربیدهای آلیاژی در مرز سل یوتکنیک‌ها شده و بدین ترتیب انرژی ضربه را در دمای محیط کاهش داده و باعث افزایش دمای شکست نرم به ترد $DBTT$ (DBTT) چدن نشکن می‌شوند [۷]. در مقابل عنصر نیکل باعث کاهش دمای شکست نرم به ترد چدن‌های نشکن ریختگی و آستمپر می‌گردد [۸].

علاوه بر عناصر آلیاژی متغیرهای عملیات حرارتی آستمپرینگ (دما و زمان آستمپر) نیز می‌توانند بر مقدار انرژی ضربه در دمای محیط مؤثر باشند، به نحوی که دمای آستمپر پایین $200-280$ درجه سانتی گراد به دلیل تشکیل بینیت پایین باعث افزایش سختی و کاهش انرژی ضربه می‌شود، همچنین با افزایش زمان آستمپر سهم استحاله نفوذی بیشتر شده و باعث افزایش فریت بینیتی و در نتیجه افزایش انرژی ضربه می‌شود [۹]. تحقیق حاضر بر همین اساس انجام شده است و هدف آن بررسی اثر مقادیر سیلیسیم و همچنین زمان آستمپر بر دمای شکست نرم به ترد چدن نشکن آستمپر نیمه‌آلیاژی می‌باشد.

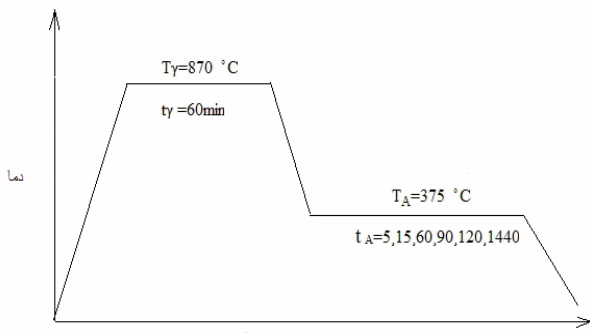
۲- مواد و روش تحقیق

جهت انجام تحقیق از مدل ۲ بلوک یک اینچ مطابق استاندارد ASTM A 536-84 استفاده شد و عملیات قالب‌گیری به روش CO₂ سیلیکات سدیم برای ریخته گری هم زمان ۴ عدد ۲ بلوک انجام شد. مذاب مورد نیاز توسط یک کوره القایی یک تن با استفاده از قراضه فولادی، شمش چدن، برگشتی، فروسیلیسیم ۷۵٪ و گرافیت گرانوله تهیه گردید، سپس بعد از انجام کنترل‌های لازم (دماجی و آنالیزی) بر روی مذاب، ذوب شاهد با ۱/۷ درصد سیلیسیم در قالب اول در دمای 1410 ± 10 درجه

شکل فریت در زمینه‌ای از آستنیت با قیمانده می‌باشد که آسفریت نامیده می‌شود [۱]. یکی از مهمترین عوامل مؤثر بر خواص مکانیکی و ساختاری چدن‌های نشکن آستمپر شده ترکیب شیمیایی آنها می‌باشد، سیلیسیم به عنوان عنصر اصلی در چدن‌های نشکن بر روی استحاله آستمپر تأثیر قابل توجهی داشته و سرعت استحاله را تحت تأثیر قرار می‌دهد. سیلیسیم یک عنصر گرافیتزآ و فریتزآ بوده و به سمت گرافیت‌ها جدایش می‌یابد [۲]. سیلیسیم ترکیب شیمیایی نقاطی یوتکنیک و یوتکنوتیپ و حداقل حلالیت کربن در آستنیت را به طور قابل توجهی کاهش می‌دهد. افزودن سیلیسیم به سیستم آهن-کربن باعث افزایش دماهای استحاله‌های یوتکنیک و یوتکنوتیپ می‌شود و در حضور این عنصر استحاله‌های مذکور در یک محدوده‌ای از درجه حرارت انجام می‌گیرند [۳]. برای تأخیر در مرحله دوم استحاله آستمپر، حداقل ۲ درصد سیلیسیم لازم است، گزارش شده است که افزایش سیلیسیم تا $3/2$ درصد باعث تأخیر در مرحله دوم استحاله آستمپر می‌شود [۴]. از طرفی سیلیسیم زیاد باعث فریتی شدن زمینه و در نتیجه کاهش استحکام ضربه خواهد شد. بدین صورت که سیلیسیم باعث کاهش میزان حلالیت کربن در آستنیت و تسریع نفوذ کربن در آن می‌شود. این دو اثر، جوانهزنی و رشد فریت را در زمینه آستنیتی بهبود می‌بخشند و مرحله اول استحاله آستمپر سریعتر انجام می‌شود. سیلیسیم اضافی در فریت حل شده و استحکام کششی و سختی را مجددًا افزایش می‌دهد [۵]. لذا از آنجایی که سیلیسیم باعث کاهش حلالیت کربن در آستنیت می‌شود، به نظر می‌رسد که سیلیسیم میزان سختی پذیری چدن‌های نشکن آستمپر را کاهش می‌دهد. اما چنانچه سختی پذیری این چدن‌ها با درصدهای متفاوت سیلیسیم و درصدهای یکسان کربن موجود در آستنیت (که با تغییر درجه حرارت آستنیته کردن حاصل می‌شود) مقایسه گردد ملاحظه خواهد شد که سیلیسیم باعث افزایش سختی پذیری چدن‌های نشکن می‌گردد. وجود سیلیسیم بالا نیز باعث کاهش نیروی محركه جهت تشکیل کاربیدها در زمینه خواهد شد و در نتیجه موجب تغییرات خواص ضربه‌پذیری می‌گردد [۵ و ۶].

جدول (۱): ترکیب شیمیایی (درصد وزنی) ۷ بلوک‌های ریختگی.

S	P	Ni	Mn	Cu	Mo	Si	C	ترکیب شیمیایی
۰/۰۱۳	۰/۰۱۳	۰/۹۲	۰/۲۷	۰/۰۵۱	۰/۱۴	۱/۷۱	۳/۴۶	نمونه شاهد
۰/۰۱۲	۰/۰۱۳	۰/۹۲	۰/۲۶	۰/۰۵۱	۰/۱۴	۲/۴۲	۳/۴۳	نمونه ۱
۰/۰۱۲	۰/۰۱۳	۰/۹۱	۰/۲۷	۰/۰۵۲	۰/۱۴	۲/۸۱	۳/۳۷	نمونه ۲
۰/۰۱۲	۰/۰۱۳	۰/۹۱	۰/۲۶	۰/۰۵۰	۰/۱۳	۳/۱۸	۳/۳۴	نمونه ۳
۰/۰۱۲	۰/۰۱۳	۰/۹۰	۰/۲۶	۰/۰۵۱	۰/۱۴	۳/۵۲	۳/۳۷	نمونه ۴



شکل (۱): شماتیک سیکل عملیات حرارتی آستمپرینگ بر نمونه‌های ضربه در مرحله اول آزمون.

جدول (۲): نتایج متالوگرافی قبل از اچ نمونه‌ها.

درصد کروی بودن	اندازه گرافیت‌های کروی در واحد سطح (میکرون)	تعداد گرافیت‌های کروی در واحد سطح (mm ⁻²)
۹۰-۹۵	۲۰-۲۷	۲۰۰-۲۳۰

آزمون ضربه شارپی قرار گرفتند که متوسط نتایج ۲ آزمون معیار انرژی ضربه برای هر شرایط در نظر گرفته شد. همچنین لازم به ذکر است که در هر مرحله از آزمون نمونه‌هایی نیز جهت بررسی متالوگرافی نوری تهیه گردیدند که بعد از آماده‌سازی، عملیات متالوگرافی نوری در حالت قبل از اچ بر روی نمونه‌های ریختگی و بعد از اچ (نایتسال ۰.۲٪) به روی نمونه‌های آستمپر شده انجام شد، برای این منظور از یک دستگاه میکروسکوپ نوری مدل OLYMPUS BX57M استفاده شد. جدول (۲) نتایج متالوگرافی قبل از اچ نمونه‌ها را نشان می‌دهد.

سانتری گراد ریخته گری شد. لازم به ذکر است که عملیات کروی‌سازی به روش درون قالب^۱ با استفاده از فروسیلیسیم مسیزیم زیرکونیوم با دانه‌بندی ۴-۱ میلی‌متر درون قالب انجام شد. در مرحله بعد ۴ ذوب مشابه با شرایط تولید نمونه شاهد تهیه شدند، جدول (۱)، ترکیب شیمیایی ۷ بلوک‌های ریختگی را که از نمونه‌های پولکی طراحی شده درون قالب‌ها به روش اسپکتروگرافی نشر نوری (OES) تعیین گردیده است، را نشان می‌دهد.

در مرحله بعد از ۷ بلوک‌های ریختگی تعداد ۱۲۰ نمونه ضربه بدون شیار به ابعاد $10 \times 10 \times 55$ میلی‌متر مطابق استاندارد ASTM A 327-90 به روش ماشین‌کاری تهیه گردید. آزمون‌های ضربه طی ۲ مرحله انجام شد، در مرحله اول هدف تعیین زمان بهینه آستمپر نمونه‌هایی با درصدهای متفاوت سیلیسیم بود، لذا برای هر ترکیب شیمیایی ۱۲ عدد نمونه ضربه در دمای ۸۷۵ درجه سانتی گراد به مدت ۶۰ دقیقه آستینته و در دمای ۳۷۵ درجه سانتی گراد در زمان‌های مختلف ۵، ۱۵، ۶۰، ۹۰، ۱۲۰ و ۱۴۴۰ دقیقه تحت عملیات آستمپر قرار گرفتند. لازم به ذکر است که در این تحقیق انتخاب دمای آستمپر بر مبنای تولید چدن نشکن آستمپر با خواصی منطبق با استاندارد ASTM A 897-M-Grade2 انجام گردیده است. شکل (۱) شماتیک سیکل عملیات حرارتی به کار رفته در مرحله اول تحقیق را نشان می‌دهد. پس از عملیات حرارتی آستمپر برای هر ترکیب شیمیایی در یک زمان آستمپر خاص، ۲ نمونه تحت

جدول (۳): دماهای آزمون و محیط‌های خنک کننده مورد استفاده در مرحله دوم تحقیق.

-۱۹۷°C	-۷۸/۵°C	-۱۶°C	صفر درجه سانتی گراد	۲۵°C	۱۰۰°C	۲۰۰°C
کوره	آب جوش	دماهی محیط	آب و یخ	یخ، الکل، نمک	CO2 جامد	نیتروژن مایع

افت می‌کند، علت این امر ناشی از انجام مرحله دوم استحاله می‌باشد. در این مرحله زمینه آستینیتی به فریت و کاربید تجزیه می‌شود که با تشکیل کاربید، انرژی ضربه کاهش می‌یابد [۸]. شکل (۲-ب) تغییرات انرژی ضربه را در نمونه $\text{Si} = ۰/۲/۸۱$ نشان می‌دهد، همانگونه که از این شکل ملاحظه می‌شود انرژی ضربه در زمان ۹۰ دقیقه به ۱۰۶ J/cm^2 رسیده که نسبت به $\text{Si} = ۰/۲/۴۲$ انرژی ضربه افزایش نموده است، علت این امر ناشی از غلظت سیلیسیم می‌باشد. غلظت زیاد سیلیسیم در زمینه آستینیت از تشکیل کاربیدها که یکی از مشخصه‌های استحاله بینیتی است ممانعت به عمل آورده و اجازه می‌دهد که کربن دفع شده از فریت در حال رشد، آستینیت مجاور را از کربن غنی سازد. این آستینیت غنی شده از کربن به واسطه سرد کردن بعدی تا دماهی محیط پایدار خواهد بود که در نتیجه باعث افزایش انرژی ضربه می‌شود [۲]. با افزایش زمان بیشتر از ۹۰ دقیقه انرژی ضربه کاهش می‌یابد که علت آن نیز ناشی از شروع مرحله دوم استحاله و تشکیل کاربید در زمینه می‌باشد [۲ و ۹]. نگهداری طولانی در دماهی آستینرینگ (زمان ۱۴۴۰ دقیقه) به تجزیه آستینیت پرکربن به دو فاز پایدارتر فریت و کاربید منجر می‌شود. تشکیل کاربیدها در این مرحله از استحاله آستینپر، انعطاف‌پذیری چدن را به شدت کاهش می‌دهند [۹].

با بررسی نتایج آزمون ضربه نمونه‌های $\text{Si} = ۰/۳/۱۸$ و $\text{Si} = ۰/۳/۵۲$ (شکل‌های ۲-ج و ۲-د) مشاهده می‌گردد که مشابه با نمونه‌های ۱ و ۲ زمان بهینه آستینپر ۹۰ دقیقه می‌باشد که در این زمان بیشترین انرژی ضربه حاصل می‌گردد به نحوی که در $\text{Si} = ۰/۳/۱۸$ انرژی ضربه به مقدار ۸۰ J/cm^2 و در $\text{Si} = ۰/۳/۵۲$ مقدار ۷۵ J/cm^2 می‌رسد. در این نمونه‌ها افزایش بیش از اندازه غلظت سیلیسیم باعث کاهش میزان کربن حل شده در آستینیت می‌گردد، لذا آستینیت کم کربن در اثر سرد شدن به مارتزیت

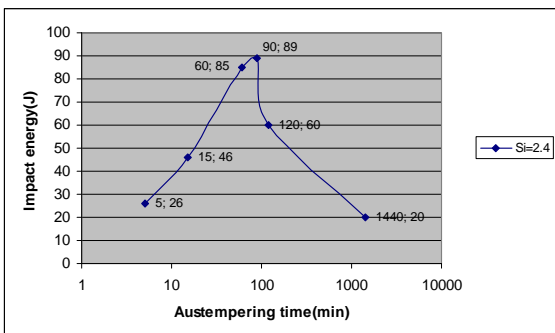
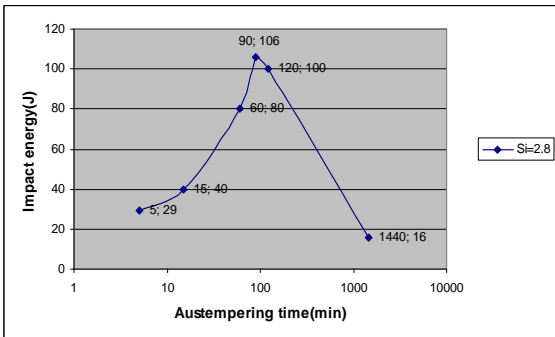
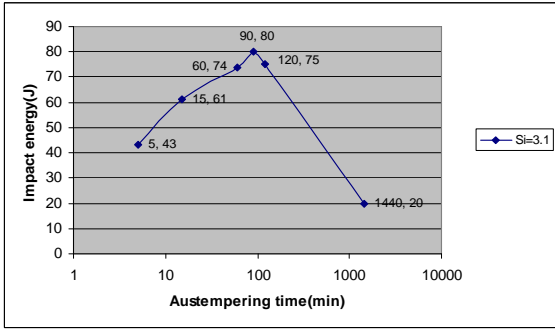
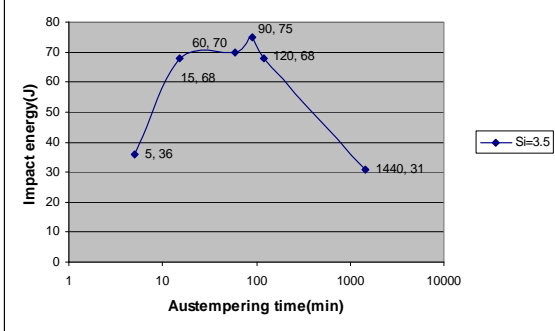
در مرحله دوم هدف اثر مقدار سیلیسیم بر دماهی شکست نرم به ترد (DBTT) نمونه‌ها در زمان بهینه آستینپر (۹۰ دقیقه) بود، لذا در این مرحله برای هر ترکیب شیمیایی ۱۸ نمونه ضربه تحت عملیات آستینپر قرار گرفتند در این مرحله نیز دماهی آستینیت ۸۷۵ درجه سانتی گراد، زمان آستینیت ۶۰ دقیقه و دماهی آستینپر ۳۷۵ درجه سانتی گراد و زمان آستینپر، زمان بهینه آزمون مرحله اول (۹۰ دقیقه) در نظر گرفته شد، بعد از عملیات آستینپر کردن، نمونه‌های ضربه در دماهای مختلف زیر صفر و بالای صفر تحت آزمون ضربه قرار گرفتند. دماهای آزمون و محیط‌های خنک کننده در جدول (۳) ارائه شده است.

بعد از انجام آزمون ضربه بر روی نمونه‌ها بررسی شکست‌نگاری از مقاطع شکست نمونه‌های ضربه توسط میکروسکوپ الکترونی روبشی (SEM) مدل VEGA TESCAN با ولتاژ شتاب‌دهنده ۳۰ kV انجام شد. علاوه بر این جهت تجزیه و تحلیل دقیق تر نتایج، به کمک برنامه MATLAB نمودارهای دماهی انتقال شکست نرم به ترد نمونه‌های ضربه رسم گردید. برای این منظور نتایج انرژی ضربه در مرحله دوم از طریق برونویابی در برنامه MATLAB به صورت منحنی با محدوده انحراف معیار ± ۱۰ درصد رسم و نقاط عطف نمودارها به عنوان دماهی انتقال شکست نرم به ترد (DBTT) انتخاب شدند.

۳- نتایج و بحث

۳-۱- اثر سیلیسیم و زمان آستینپر بر انرژی ضربه

شکل (۲) تغییرات انرژی ضربه نمونه‌ها را نسبت به زمان عملیات حرارتی آستینرینگ نشان می‌دهد. شکل (۲-الف) تغییرات انرژی ضربه در نمونه $\text{Si} = ۰/۲/۴۲$ را نشان می‌دهد، همانگونه که مشخص است انرژی ضربه تا زمان ۹۰ دقیقه افزایش یافته و به ۹۰ J/cm^2 می‌رسد و در زمان‌های بیشتر از ۹۰ دقیقه انرژی ضربه

(الف) $Si = 2.4/42$ (ب) $Si = 2.8/81$ (ج) $Si = 3.1/81$ (د) $Si = 3.5/52$

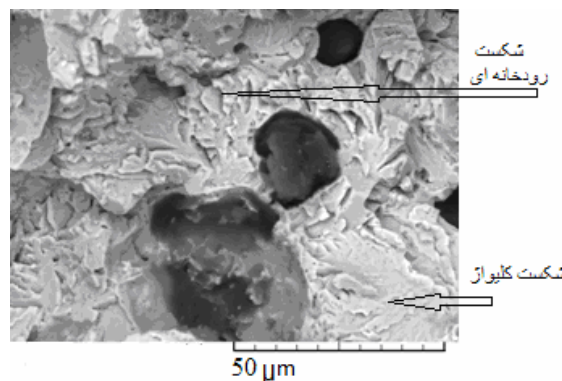
شکل (۲): تغییرات انرژی ضربه بر حسب مقدار سیلیسیم و زمان آستمپرنگ (اعداد سمت راست مقدار انرژی ضربه و اعداد سمت چپ زمان آستمپر را نشان می‌دهد).

تبدیل می‌شود، بنابراین با افزایش زمان آستمپر و افزایش سیلیسیم انرژی ضربه کاهش می‌یابد [۱۰ و ۱۱].

۳-۲-۳ اثر سیلیسیم بر دمای انتقال شکست نرم به ترد
شکل (۳) نمودارهای دمای انتقال شکست نرم به ترد (DBTT) را بر حسب مقدار غلظت سیلیسیم در زمان بهینه آستمپر (۹۰ دقیقه) نشان می‌دهد. همانگونه که مشاهده می‌شود با افزایش مقدار سیلیسیم در چدن، دمای انتقال شکست نرم به ترد افزایش می‌یابد. علت تغییرات دمای انتقال شکست نرم به ترد با افزایش سیلیسیم، ناشی از مقدار سیلیسیم حل شده در فریت بینیتی می‌باشد [۱۲]، به نحوی که با افزایش سیلیسیم در چدن، مقدار سیلیسیم فریت بینیتی افزایش یافته و باعث تأثیرگذاری بر انعطاف پذیری و نرمی فریت در دماهای متفاوت می‌گردد [۱۱ و ۱۲].

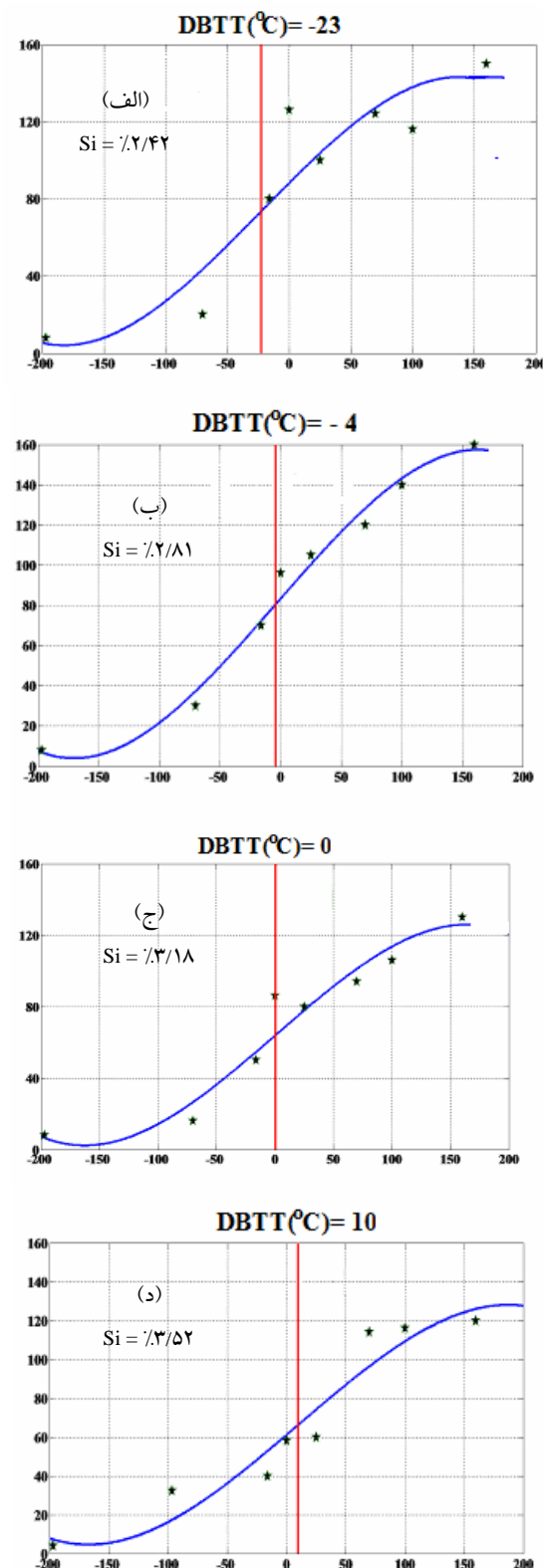
بررسی شکستنگاری توسط میکروسکوپ الکترونی روبشی (SEM) از سطح شکست نمونه‌های ضربه نشان دهنده وجود شکست ترد نمونه‌های ضربه در دماهای آزمون ۷۰-۱۹۶ درجه سانتی گراد و همچنین شکست نرم در دمای ۲۰۰ درجه سانتی گراد می‌باشد. شکل (۴) سطح شکست نمونه ضربه در نمونه حاوی $Si = 2.8/81$ ، در دمای ۱۹۶-درجه سانتی گراد نشان می‌دهد، در این شکل وجود مدل شبه رودخانه‌ای و صفحات کلیواز بر روی سطح شکست، نشان دهنده وقوع شکست کاملاً ترد می‌باشد.

شکل (۵) سطوح شکست نمونه‌های آستمپر شده حاوی مقادیر سیلیسیم متفاوت را در دمای ۷۰-درجه سانتی گراد را نشان می‌دهد، همانگونه که از این شکل مشخص است، با افزایش سیلیسیم سطوح شکست کلیواز افزایش می‌یابد به نحوی که بیشترین سطوح شکست کلیواز مربوط به نمونه حاوی $Si = 3.5/52$ می‌باشد. علت این امر ناشی از اثر سیلیسیم بر استحکام فاز فریت بینیتی می‌باشد [۱۱ و ۱۲]. علاوه بر این بررسی شکل (۵-الف و ب) مشخص می‌نماید که در نمونه‌های حاوی سیلیسیم کمتر سطح شکست به شکست شبه ترد با سطوح

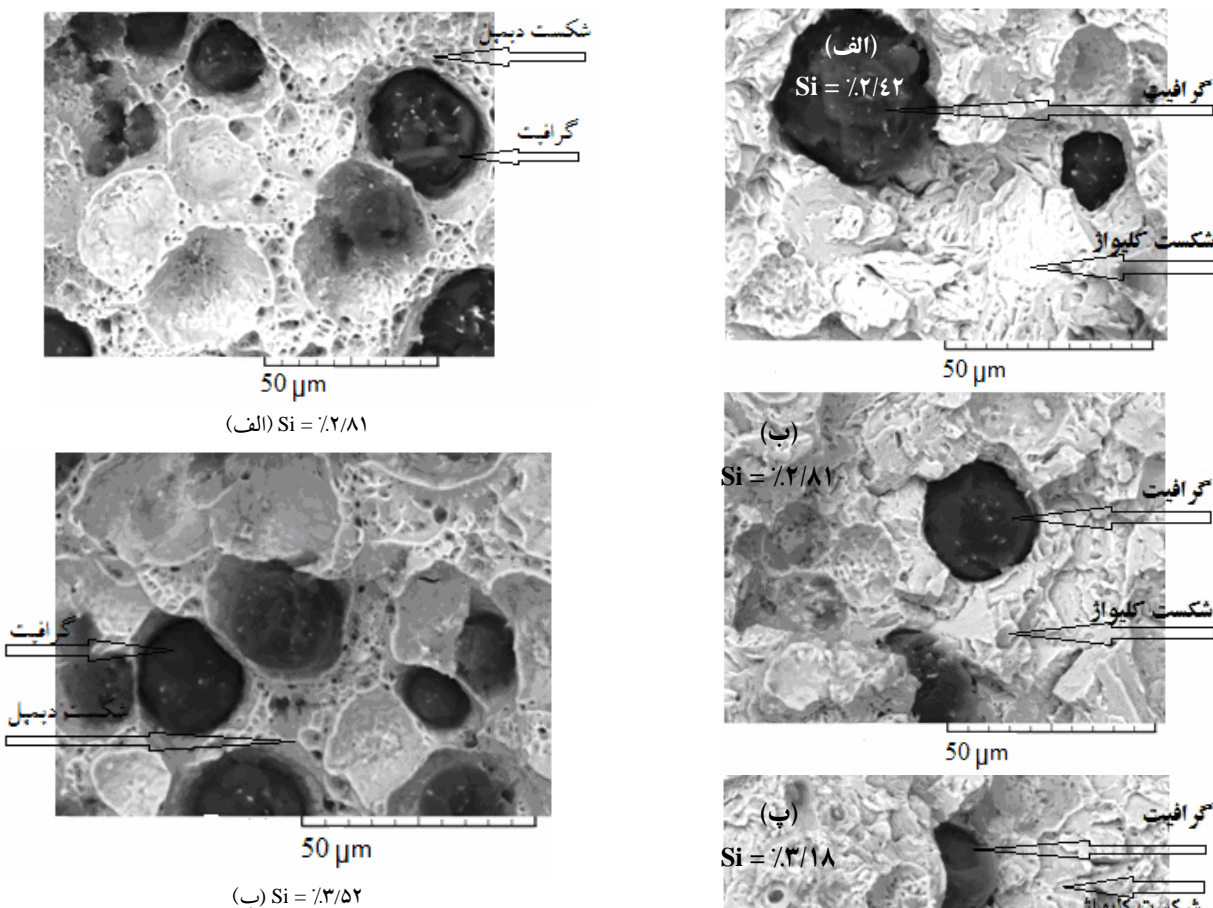


شکل (۴): تصویر تهیه شده توسط میکروسکوپ الکترونی روبشی از سطح شکست نمونه ضربه حاوی $\% = ۲/۸۱$ سیلیسیم در دمای -۱۹۶°C .

شکست کلیواز کم تبدیل شده است. از طرفی بیشترین رفتار تردی و صفحات کلیواز نیز در نزدیک گرافیت ها مشاهده می شود که علت آن ناشی از جدایش منفی سیلیسیم در ساختار چدن نشکن است که باعث می گردد بیشترین غلظت سیلیسیم در نواحی نزدیک گرافیت ها باشد و با فاصله از گرافیت ها به سمت مرز سلول های یوتکتیک مقدار آن کاهش می یابد [۱۲]. شکل (۶) تصویر SEM سطح مقطع شکست نمونه ضربه $\% = ۲/۸۱$ و $\text{Si} = \% ۲/۴۲$ را در دمای 200°C درجه سانتی گراد نشان می دهد همانگونه که مشاهده می گردد وجود دیمپل ها نشان دهنده شکست نرم در این دما می باشد. بنابراین در دماهای بالا اثر مقدار سیلیسیم بر نوع شکست بی تأثیر است و شکست در حالت نرم اتفاق می افتد و در نمودار DBTT نیز در دماهای بالا انرژی ضربه افزایش می یابد.



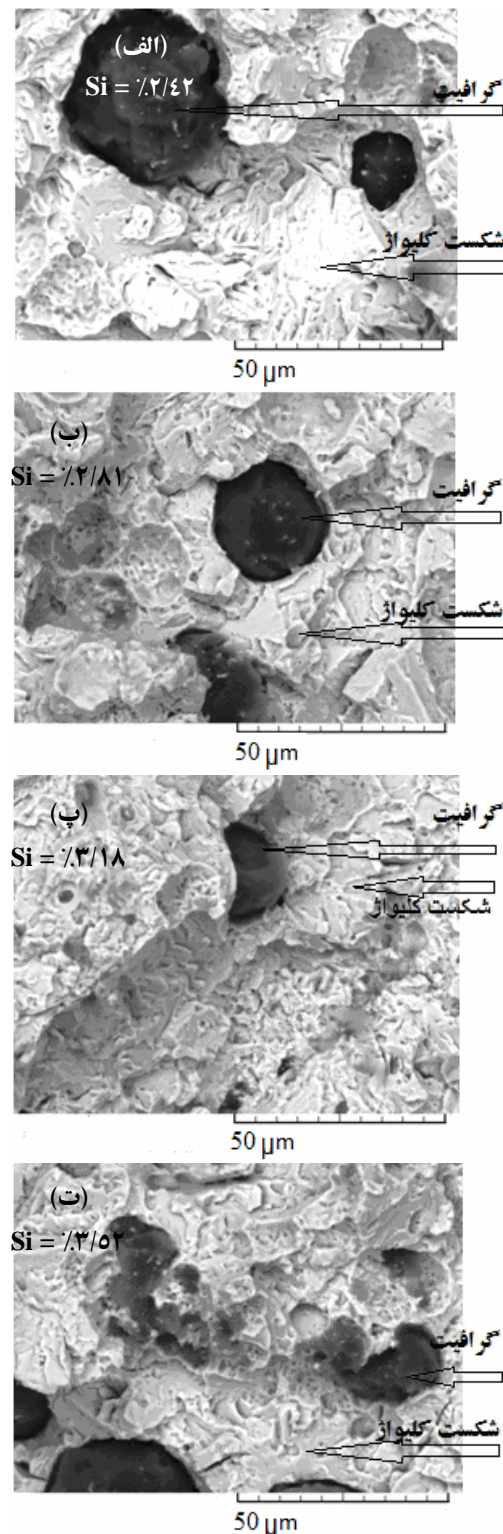
شکل (۳): نمودارهای دمای انتقال شکست نرم به ترد چدن نشکن آستمپر بر حسب مقدار سیلیسیم.



شکل (۶): تصویر تهیه شده توسط میکروسکوپ الکترونی روبشی از سطوح شکست نمونه های ضربه با مقادیر سیلیسیم متفاوت دمای 200°C .

۴- نتیجه گیری

- زمان بهینه عملیات آستمپرینگ در دمای ۳۷۵ درجه سانتی گراد در محدوده ترکیب شیمیایی $\text{Si} = \frac{2}{42}$ تا $\text{Si} = \frac{3}{52}$ دقیقه می باشد.
- با افزایش زمان آستمپر (در محدوده $\frac{2}{42} \sim \frac{3}{52}$ Si) ۹۰ دقیقه، انرژی ضربه کاهش می یابد.
- زمان آستمپر کمتر از ۹۰ دقیقه (در محدوده $\frac{2}{42} \sim \frac{3}{52}$ Si) از انرژی ضربه کمی برخوردار است.
- مقدار بهینه سیلیسیم، جهت دست یابی به حداقل انرژی ضربه ۲/۸۱ درصد می باشد و با افزایش از این مقدار، انرژی ضربه کاهش می یابد.



شکل (۵): تصویر تهیه شده توسط میکروسکوپ الکترونی روبشی از سطوح شکست نمونه های ضربه در دمای -70°C .

- [7] R. Martinz, "Embrittlement of Austempered Ductile Iron on Contact with Water-Testing under Applied Potential", Materials Science, Vol. 38, pp. 2971-2977, 2003.
- [8] J. Aranzabal, I. Gutierrez, "Influence of the Amount and Morphology of Retained Austenite on the Mechanical Properties of an Austempered Ductile Iron", Metallurgical and Materials Transaction A, 34A, pp. 1143-1149, 1997.
- [9] A. Refaey, N. Fatahalla, "Effect of Microstructure on Properties of ADI and Low Alloyed Ductile Iron", Journal of Materials Science 38, pp. 351-362, 2003.
- [10] S. Yazdani and R. Elliott, "Influence of Molybdenum on Austempering Behavior of Ductile Iron Part1", Materials Science and Technology May 1999, Vol. 40, No. 12, pp. 1246-1252, 2000.
- [11] U. Batra, "Fracture Behavior and Mechanism in Austempered Ductile Iron", ASM International, Jfapbc 5, pp. 75-81, 2005.
- [12] J. Mallia, M. Grech, "Effect of Silicon Content on Transformation Kinetics of Austempered Ductile Iron", Materials Science and Technology, Vol. 4, No. 5, pp. 452-460, 2000.

۶- پی‌نوشت

- 1- Ductile Brittle Transition Temperature
- 2- Inmold

- ۵- با افزایش سیلیسیم دمای انتقال شکست نرم به ترد چدن نشکن آستمپر افزایش می‌یابد.
- ۶- بررسی‌های شکست‌نگاری نشانگر افزایش تردی با افزایش مقدار سیلیسیم در دمای زیر صفر می‌باشد.

۵- مراجع

- [1] O. Eric, M. Jovanovic, "The Austempering Study of Alloyed Ductile Iron", Materials and Design 27, pp. 617-622, 2006.
- [2] Z. M. EL-Baradie, "Austempering Spheroidal Graphite Cast Iron", Materials Sience, Vol. 40, pp. 14-19, 2004.
- [۳] ح. ثابت، م. تدبیر سعیدی، "مبانی متالورژی چدن نشکن"، انتشارات دانشگاه آزاد اسلامی واحد کرج، ۱۳۸۶.
- [4] Y. Q. Wang, "Effect of Silicon on Producing Ductile Iron with Complex Structure of Bainite and Martensite", Acta Metallurgica Sinica, Vol. 11, No. 1, pp. 25-28, January 2000.
- [5] M. Erdogan, "Transformation Characteristics of Ductile Iron Austempered from Intercritical Austenitizing Temperature Ranges", J. Mater, Vol. 44, pp. 1394-1403, 2009.
- [6] L. H. Chen, H. M. Lin, "Effect of Silicon Content on Intergranular Embrittlement of Ferritic Spheroidal Graphite Cast Iron Suffered from Cyclic Heating", Mater Trans, Vol. 44, No. 1, pp. 173-180, 2003.